

۱۳۷۸/۱۱/۹

## دانشگاه علم و صنعت ایران

### دانشکده مهندسی شیمی

# بهینه سازی گچ در سیمانهای مفلوط

سید علی اکبر میرزاده

پایان نامه برای دریافت درجه کارشناسی ارشد در رشته

مهندسی شیمی

۱۴۰۰۲

استاد راهنما : دکتر حمید جزایری

تابستان : ۱۳۷۶

بِسْمِ اللّٰهِ الرَّحْمٰنِ الرَّحِيْمِ

## شناختنامه :

### نام گزارش : بهینه سازی سیچ در سیمان‌های مخلوط

استاد راهنمای : دکتر عباس طائب

مجرى پژوهش : سید علی اکبر میرزاده

تاریخ چاپ : شهریور ۱۳۷۶

تعداد : ۹

نام مرکز تکثیر : دانشکده هندسی شیمی و مرکز تحقیقات سیمان

دانشگاه علم و صنعت ایران

هزینه این پژوهش توسط مجتمع صنعتی سیمان آبیک تأمین و پرداخت شده است.

هرگونه چاپ و تکثیر ممنوع می‌باشد

نقل مطالب با ذکر مأخذ آزاد است

## فهرست مطالب

عنوان	صفحه
فصل اول - گچ در سیمان	
۱-۱ - مقدمه	۱
۱-۲ - میزان گچ در سیمانهای مختلف	۱
۱-۳ - هیدراتاسیون سیلیکات در حضور و غیاب گچ	۲
۱-۴ - گچ و تنظیم گیرش	۲
۱-۵ - اثر گرمایی گچ و وضع تجزیه حرارتی حاصل در آب	۹
۱-۶ - گیرش کاذب	۱۱
۱-۷ - پارامترهای مؤثر بر روی عملکرد گچ در سیمان	۱۲
۱-۸ - اثر ترکیبات کلینکر بر روی عملکرد گچ در سیمان	۱۳
۱-۹ - اثر انواع گچ در سیمان	۱۵
۱-۱۰ - چگونگی کلوخه شدن سیمان در سیلوها	۱۸
۱-۱۱ - قابلیت خردایش و اندازه سنجی دانه های پخش شده	۲۲
۱-۱۲ - اثر گچ بر مقاومت فشاری	۲۲
۱-۱۳ - نتیجه	۲۶
فصل دوم - بررسی قابلیت خردایش ترکیبات سیمان و انرژی مصرفی آسیابهای سیمان	
۲-۱ - مقدمه	۲۸
۲-۲ - محاسبه قابلیت خردایش	۲۸
۲-۳ - بررسی خردایش کریستالهای سیمان	۲۹
۲-۴ - نتیجه	۳۳
۲-۵ - اثر روش آسیاب کردن روی خصوصیات سیمان	۳۴
فصل سوم - فرآیند خردایش سیمان	
۳-۱ - مقدمه	۴۱
۳-۲ - تعیین نرمی محصول	۴۱
۳-۳ - مواد خردکننده	۴۲
۳-۴ - خردایش مدار باز	۴۳

## چکیده :

علت افزایش گچ ( $\text{CaSO}_4 \cdot 2\text{H}_2\text{O}$ ) به کلینکر جهت ساخت سیمان برای تنظیم گیرش می‌باشد چون پودر کلینکر به محض وارد شدن در آب، به دلیل ترکیب  $\text{C}_3\text{A}$  با آب سفت می‌گردد. در نتیجه ترکیب یکی از فازهای اصلی سیمان  $\text{C}_3\text{A}$  (تری کلسیم آلومینات) با گچ اترنجیت که یک فاز ناپایدار است، تشکیل می‌گردد. اترنجیت سطح  $\text{C}_3\text{A}$  را می‌پوشاند و از ترکیب بیشتر فاز  $\text{C}_3\text{A}$  با آب جلوگیری می‌نماید. مدت زمانی که طول می‌کشد تا آب از لایه‌های اترنجیت عبور نموده و کاملاً با  $\text{C}_3\text{A}$  ترکیب گردد، زمان گیرش می‌نماید. هر چه تعداد ذرات در یک گرم بیشتر می‌شود، تعداد  $\text{C}_3\text{A}$  وارد عمل شده با گچ افزایش می‌یابد و در واقع با بالا رفتن بلین ( $\text{Cm}^2/\text{g}$ ) سیمان تعداد  $\text{C}_3\text{A}$  و در نتیجه میزان گچ بهینه افزایش می‌یابد. اثر گچ روی مقاومت سیمانهای مخلوط در زمانهای ۳ و ۷ و ۲۸ متفاوت خواهد بود. آنچه مسلم است با افزایش گچ به سیمان و تشکیل اترنجیت مقاومت کاهش می‌یابد و این کاهش مقاومت با افزایش میزان گچ ادامه خواهد یافت. جداول و منحنی‌ها هر کدام به نوبه خود اثر افزایش گچ را روی گیرش و مقاومت با درصدهای متفاوت افزودنی (سنگ پوزولان و سنگ آهک) مورد بررسی قرار داده و مقدار گچ بهینه را برای درصدها مختلف افزودنی مشخص نموده‌اند. آزمایش‌های تحقیقاتی انجام شده که مبتنی بر مطالعات کتابخانه‌ای از کتب تحقیقاتی پیشرفته می‌باشد، نشان می‌دهد که انھیدرات  $\text{CaSO}_4$  به همراه ژیپس تا ۷۰٪ مقاومت ملات و بتون را افزایش داده و زمان گیرش را کاهش می‌دهد.

برای اثبات این موضوع گچ را تا ۴ درجه متفاوت گرم نمودیم مشاهده شد، در  $135^\circ\text{C}$  مقاومت خیلی بالاتر از موقعی است که در حد حرارت گچ  $100^\circ\text{C}$  می‌باشد با استفاده از این نتیجه می‌توان مقداری از گچ را به صورت  $\text{CaSO}_4$  خردباری نمود. که به دلیل نداشتن آب ( $\text{CaSO}_4$  در داخل آسیاب و سیلو تبدیل به  $2\text{H}_2\text{O}$  و  $\text{CaSO}_4$  می‌گردد) اقتصادی بوده و همچنین با افزایش مقاومت به کیفیت بالائی دست خواهیم یافت. (ماکریم ۷٪ انھیدرات می‌تواند جانشین ژیپس گردد) در راستای این پروژه دو کتاب در مورد سیمانهای پوزولانی و سیمانهای پرتلند آهکی (LCC) از کتابهای پیشرفتہ دنیا ترجمه شده تا خواص این گونه سیمانهای مخلوط به خوبی مشخص گردد. سنگ پوزولانی طبیعی خود به عنوان ریتاردر (Retarder) عمل می‌نماید به طوری که مانند گچ تاحدودی تأخیر در گیرش سیمان ایجاد کند که درصد گچ بهینه در سیمانهای پوزولانی معروف این موضوع است. سنگ آهک در سیمانهای پرتلند آهکی (LCC یا PKZ) مانند گچ عمل می‌نماید و به دلیل ترکیب سنگ آهک با  $\text{C}_3\text{A}$ ، و تشکیل فاز نسبتاً پایدار منوکربو آلومینات گیرش سریعتر انجام شده و میزان گچ لازم برای تأخیر در گیرش به حداقل می‌رسد به طوری که میزان  $\text{SO}_3$  در سیمانهای حاوی سنگ آهک (Limston-Content-Cement) یا LCC نسبت به سیمان معمولی

OPC به حداقل کاهش می‌یابد (میزان گچ بهینه در سیمان معمولی ۲٪ در صورتی که در سیمانهای LCC به ۱٪ کاهش می‌یابد)، که این موضوع برای کشورهایی که از گچ وارداتی استفاده می‌نمایند یا کشورهایی که سنگ آهک خالص دارند از نظر اقتصادی فوق العاده مهم می‌باشد.

مطابق آزمایش‌های انجام شده در سیمانهای پوزولانی (با ۱۵٪ سنگ پوزولان) با افزایش گچ‌گرمای هیدراتاسیون ۷ روزه و ۲۸ ( مقاومت ) کاهش می‌یابد که منحنی‌های مربوط حد بهینه گچ را پیش نهاد می‌دهند.

با آزمایش‌های انجام شده روی ورودی و خروجی مواد در کارخانه سیمان آبیک سیکل گردش  $\text{SO}_3$  و میزان آن در هر مسیر مشخص گردیده است.

آزمایش نشان می‌دهد که قابلیت خردایش گچ به مرتب بالاتر از کلینکر می‌باشد. زمانی که کلینکر به همراه گچ کوبیده می‌شود درصد بالائی (حدود ۹۰٪) از گچ زیر الک ۴۵ میکرون قرار می‌گیرد. گچی که در بالای الک ۴۵ میکرون قرار می‌گیرد مربوط به گچی می‌شود که در ساختمان بلوری کلینکر شرکت کرده است نتایج بسیار زیادی از این پروژه حاصل شده که در ۲۵ قسمت ارائه شده است. بیشتر مراجع از کتابهای تحقیقاتی، مجلات خارجی بوده که به وسیله مجری پروژه ترجمه شده است.

در نهایت امیدوارم مطالعه فوق مورد استفاده کارخانه‌های سیمان قرار گیرد تا در این رهگذار اندکی از دین خود را به ایران عزیز و جمهوری اسلامی ایران ادا کرده باشم.

## عنوان

### صفحه

۴۳	۵-۳ - خردایش مدار بسته
۴۴	۶-۳ - خردایش داخل آسیاب

## فصل چهارم - ورودی ها و خروجی های آسیاب سیمان

۴۸	۱-۴ - مقدمه
۴۹	۲-۴ - امکانات خنک کردن سیمان
۵۰	۳-۴ - مدار عمومی
۵۰	۴-۴ - پاشش آب روی سطوح خارجی آسیاب
۵۰	۵-۴ - تزریق آب در داخل آسیاب
۵۱	۶-۴ - روش های صنعتی تزریق آب
۵۵	۷-۴ - کنترل تزریقی آب
۵۶	۸-۴ - دبی تزریق آب
۵۷	۹-۴ - خنک کردن سیمان خارج از آسیاب
۵۸	۱۰-۴ - مشکلات ناشی از انبار کردن سیمان داغ

## فصل پنجم - ارتباط میزان گچ با قابلیت خردایش (نرمی یا بلین)

۶۱	۱-۵ - ارتباط درصدهای مختلف گچ با نرمی
۶۲	۲-۵ - دانه بندی ورودی های آسیابهای ۳ و ۴ سیمان
۶۲	۳-۵ - اثر گچ های مختلف روی قابلیت خردایش سیمان
۶۴	۴-۵ - اثر خردایش بر گیرش
۶۴	۵-۵ - هدف استفاده از کمک ساینده ها

## فصل ششم - بررسی سولفور به صورت $\text{SO}_3$ در مسیر تولید سیمان

۷۱	فصل هفتم - روش آزمایش و آزمایش های انجام شده در سیمان آبیک
۸۲	۱-۷ - گیرش سیمان
۸۴	۲-۷ - سلامت سیمان

عنوان

صفحه

۸۵	۳-۷ - اندازه گیری زمان گیرش
۸۵	۴-۷ - اندازه گیری درصد آب خمیر سیمان
۸۶	۵-۷ - حرارت هیدرلاتسیون
۸۷	۶-۷ - بررسی مقاومت

فصل هشتم - نتایج به دست آمده از آزمایشها

۱۰۲	۱-۸ - مقدمه
۱۳۱	۲-۸ - قابلیت کارپذیری یا سیلان ملات سیمان

فصل نهم - نتایج گرفته شده و پیشنهادات

۱۴۰	مراجع
-----	-------

## فهرست اشکال

صفحه	عنوان
۲	شکل ۱ غلظت یون $\text{Ca}^{2+}$ با زمان هیدراتاسیون برای $\text{C}_3\text{S}$ با گچ و بدون گچ
۹	شکل ۲ سیستم آب و سولفات کلسیم
۱۹	شکل ۳ تشکیل کوتینگ تابعی از درجه حرارت ذخیره سازی سیمان است
۲۰	شکل ۴ درصد وزنی کوتینگ با زمان برای بلین $\text{Cm}^2/\text{g}$ و $2600 \pm 27\%$
۲۱	شکل ۵ درصد وزنی کوتینگ تشکیل شده با درصد $\text{SO}_3$ موجود در سیمان
۲۱	شکل ۶ میزان کوتینگ تابعی از نسبت انھیدرات / گچ در سیمان پرتلند
۲۳	شکل ۷ مقاومت فشاری بر حسب مگاپاسکال برای مجموع آلت + $\text{C}_3\text{A}$
۲۴	شکل ۸ مقاومت فشاری ملات را با مجموع $\text{SO}_3$ موجود در سیمان با سه اکی و لان گرم متفاوت قلیایی سه کلینکر با نسبت متفاوت مولی قلیایی $\text{MSO}_3/\text{MK}$
۲۵	شکل ۹ مقاومت های فشاری ایجاد شده با چهار نوع گچ و دو نوع کلینکر
۲۹	شکل ۱۰ ارتباط اندازه مقدار آلت با بلین ( $\text{Cm}^2/\text{g}$ )
۳۰	شکل ۱۱ ارتباط اندازه مقدار بلیت با نرمی یا بلین ( $\text{Cm}^2/\text{g}$ )
۳۰	شکل ۱۲ ارتباط نرمی با کیلووات
۳۱	شکل ۱۳ ارتباط قطر ذرات با حجم فاز مایع
۳۱	شکل ۱۴ اثر فاز مذاب روی نرمی سیمان یا خردایش
۳۲	شکل ۱۵ ارتباط قطر ذرات آلت با مدل سیلیس
۳۲	شکل ۱۶ ارتباط LSF (درجه آهک اشباعی) با بلین یا نرمی
۳۳	شکل ۱۷ ارتباط $\text{SO}_3$ با قابلیت جریان سیمان
۳۹	شکل ۱۸a هیدراتاسیون $\text{C}_3\text{A}$ بدون گچ برای دو روش آسیاب کردن
۳۹	شکل ۱۸b هیدراتاسیون $\text{C}_3\text{A}$ به همراه گچ برای دو روش آسیاب کردن
۵۱	شکل ۱۹ تزریق آب هم سوبا جهت حرکت مواد
۵۲	شکل ۲۰ تزریق آب مخالف جهت حرکت مواد
۵۳	شکل ۲۱ نقشه قرار گرفتن اجزاء سیستم تزریق آب

۵۴	شکل ۲۲ توزیق آب در اتاقچه اول آسیاب
۵۵	شکل ۲۳ توزیق آب در اتاقچه دوم آسیاب
۵۶	شکل ۲۴ مدار کنترل توزیق آب به آسیاب
۵۹	شکل ۲۵ دزهیدراتاسیون سنگ گچ بعد از یک هفته انبار کردن در سیلو با درجه حرارت
۶۰	شکل ۲۶ پدیده به چسبندگی سیمان فعال پس از یک هفته انبار کردن با درجه حرارت
۶۰	شکل ۲۷ مقاومت فشاری سیمان فعال پس از یک هفته انبار کردن با درجه حرارت
۶۱	شکل ۲۸ ارتباط قابلیت خردایش با بلین یا درصد گچ
۶۳	شکل ۲۹ توزیع ذانه بندی گچ در سیمان
۶۴	شکل ۳۰ ارتباط زمان گیریش با قابلیت خردایش
۶۷	شکل ۳۱ بعضی از نتایج به دست آمده از آسیابهای صنعتی با استفاده از مواد کمک ساینده
۸۳	شکل ۳۲ دستگاه ویکات جهت تنظیم گیریش
۸۳	شکل ۳۳ دستگاه لوشاتلیه برای اندازه گیری سلامت سیمان
۸۶	شکل ۳۴ آزمایش خمیر تهیه شده از سیمان
۱۰۳	شکل ۳۵ ارتباط زمان گیریش اولیه با درصد گچ (۱۰٪ پوزولان)
۱۰۳	شکل ۳۶ ارتباط گیریش ثانویه درصد گچ (۱۰٪ پوزولان)
۱۰۴	شکل ۳۷ ارتباط درصد آب با درصد گچ (۱۰٪ پوزولان)
۱۰۵	شکل ۳۸ ارتباط گیریش ابتدائی با درصد گچ (۱۵٪ پوزولان)
۱۰۵	شکل ۳۹ ارتباط گیریش انتهایی با درصد گچ (۱۵٪ پوزولان)
۱۰۶	شکل ۴۰ ارتباط درصد آب با درصد گچ (۱۵٪ پوزولان)
۱۰۷	شکل ۴۱ ارتباط گیریش ابتدائی با درصد گچ (۲۰٪ پوزولان)
۱۰۹	شکل ۴۲ ارتباط گزشرش انتهایی با درصد گچ (۲۰٪ پوزولان)
۱۰۹	شکل ۴۳ ارتباط درصد آب با درصد گچ (۲۰٪ پوزولان)
۱۱۰	شکل ۴۴ ارتباط گیریش با درصد گچ (۱۰٪ سنگ آهک)
۱۱۱	شکل ۴۵ ارتباط گیریش انتهایی با درصد گچ (۱۰٪ سنگ آهک)
۱۱۲	شکل ۴۶ ارتباط درصد آب با درصد گچ (۱۰٪ سنگ آهک)

- شکل ۴۷ ارتباط گیرش ابتدائی با درصد گچ (۱۵٪ سنگ آهک)  
۱۱۳
- شکل ۴۸ ارتباط گیرش انتهایی با درصد گچ (۱۵٪ سنگ آهک)  
۱۱۳
- شکل ۴۹ ارتباط درصد آب با درصد گچ (۱۵٪ سنگ آهک)  
۱۱۴
- شکل ۵۰ ارتباط گیرش ابتدائی با درصد گچ (۲۰٪ سنگ آهک)  
۱۱۵
- شکل ۵۱ ارتباط گیرش انتهایی با درصد گچ (۲۰٪ سنگ آهک)  
۱۱۵
- شکل ۵۲ ارتباط درصد آب با درصد گچ (۲۰٪ سنگ آهک)  
۱۱۶
- شکل ۵۳ ارتباط گیرش اولیه با درجه حرارت گچ  
۱۱۷
- شکل ۵۴ ارتباط گیرش انتهایی با درجه حرارت گچ  
۱۱۷
- شکل ۵۵ ارتباط درصد آب با درجه حرارت گچ  
۱۱۸
- شکل ۵۶ منحنی مقاومت سه روزه بر حسب درصد گچ (برای ۱۰ و ۱۵ و ۲۰٪ پوزولان)  
۱۱۹
- شکل ۵۷ منحنی مقاومت ۷ روزه با درصد گچ (برای ۱۰ و ۱۵ و ۲۰٪ پوزولان)  
۱۲۰
- شکل ۵۸ منحنی مقاومت ۲۸ روزه با درصد گچ (برای ۱۰ و ۱۵ و ۲۰٪ پوزولان)  
۱۲۱
- شکل ۵۹ منحنی مقاومت شصت روزه با درصد گچ (برای ۱۰ و ۱۵ و ۲۰٪ پوزولان)  
۱۲۲
- شکل ۶۰ منحنی مقاومت ۹۰ روزه با درصد گچ (برای ۱۰ و ۱۵ و ۲۰٪ پوزولان)  
۱۲۳
- شکل ۶۱ منحنی مقاومت با درصد گچ با ۱۰٪ سنگ آهک (۳ و ۷ و ۲۸ و ۶۰ و ۹۰ روز)  
۱۲۴
- شکل ۶۲ منحنی مقاومت با درصد گچ با ۱۵٪ سنگ آهک (۳ و ۷ و ۲۸ و ۶۰ و ۹۰ روز)  
۱۲۵
- شکل ۶۳ منحنی مقاومت با درصد گچ با ۲۰٪ سنگ آهک (۳ و ۷ و ۲۸ و ۶۰ و ۹۰ روز)  
۱۲۶
- شکل ۶۴ نمودار مقاومت سه روزه بر حسب درجه حرارت  
۱۲۷
- شکل ۶۵ نمودار مقاومت هفت روزه بر حسب درجه حرارت  
۱۲۷
- شکل ۶۶ نمودار مقاومت ۲۸ روزه بر حسب درجه حرارت  
۱۲۷
- شکل ۶۷ منحنی گرمای هیدراتاسیون ۷ روزه بر حسب درصد گچ برای نمونه ۱۵٪ پوزولان  
۱۲۹
- شکل ۶۸ منحنی گرمای هیدراتاسیون ۲۸ روزه بر حسب درصد گچ برای نمونه با ۱۵٪ پوزولان  
۱۲۹
- شکل ۶۹ ارتباط درصد انبساط با درجه حرارت گچ  
۱۳۰
- شکل ۷۰ ارتباط درصد سیلان با W/C  
۱۳۱
- شکل ۷۱ ارتباط سیلان با نوع سیمان  
۱۳۲

## فهرست جداول

<u>صفحه</u>	<u>عنوان</u>
۳	جدول ۱ مشخصات شیمیایی استاندارد
۴	جدول ۲ مشخصات شیمیایی دلخواه (اختیاری)
۵	جدول ۳ مشخصات فیزیکی استاندارد
۶	جدول ۴ مشخصات فیزیکی دلخواه (اختیاری)
۱۰	جدول ۵ حلایت سولفات های گوناگون
۱۶	جدول ۶ مفروضات فیزیکی بر حسب استاندارد BS برای گچ های شیمیایی
۱۶	جدول ۷ تجربه شیمیایی و نرمی سه نوع سیمان
۲۵	جدول ۹ آنالیز دو نوع کلینکر استفاده شده
۲۶	جدول ۱۰ آنالیز چهار نوع گچ مورد استفاده
۳۵	جدول ۱۱ درصد وزنی ترکیبات سه نوع سیمان
۳۷	جدول ۱۲ نتیجه تحقیقات انجام شده با سیمانهای مختلف
۴۲	جدول ۱۳ آسیابهای $12/5 \times 4/6$ سه خانه‌ای و دو خانه‌ای
۵۳	جدول ۱۴ تزریق آب در دو روش شرکت های پلیزیوس و F-L-S
۵۷	جدول ۱۵ اعداد واقعی دبی آب و هوای مکش را باید باستن موازنۀ حرارتی آسیاب محاسبه نمود
۶۱	جدول ۱۶ ارتباط درصد گچ با بلین برای سیمان با ۱۰٪ پوزولان
۶۲	جدول ۱۷ مقایسه ورودی‌های مواد به دو آسیاب ۴ و ۳
۶۳	جدول ۱۸ ارتباط سولفات کلسیم با خردایش
۶۵	جدول ۱۹ ارتباط نرمی یک نمونه با میزان کمک ساینده در حد صنعتی
۶۹	جدول ۲۰ اثر اسیدهای چرب اشباع شده بر فرآیند آسیاب سیمان پرتلند
۷۲	جدول ۲۱ میزان $SO_3$ در زیر الک ۴۵ میکرون برای سیمان
۷۳	جدول ۲۲ میزان $SO_3$ روی الک ۴۵ میکرون برای سیمان
۷۴	جدول ۲۳ میزان $SO_3$ در سیمان خط ۱
۷۵	جدول ۲۴ میزان $SO_3$ در کلینکر خط ۲
۷۶	جدول ۲۵ میزان $SO_3$ در کلینکر خط ۱

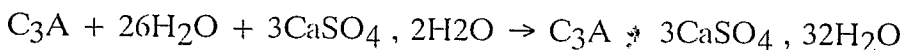
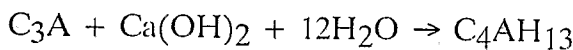
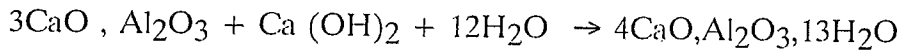
٧٧	جدول ۲۶ میزان $\text{SO}_3$ در خوراک کوره
٧٨	جدول ۲۷ میزان $\text{SO}_3$ در پوزولان طبیعی (چاه شماره ۶ معدن پوزولان)
٧٩	جدول ۲۸ میزان $\text{SO}_3$ در گج لمبران (طالقان)
٨٠	جدول ۲۹ آنالیز مازوت مصرفی برای کوره
٨٠	جدول ۳۰ آنالیز گاز مصرفی برای کوره
٨١	جدول ۳۱ آنالیز از برگشتی گرد الکتروفیلتر شماره A
٨١	جدول ۳۲ آنالیز برگشتی گرد الکتروفیلتر شماره B
٨٧	جدول ۳۳ خردایش کلینکر و گچ به تنهایی و مخلوط با هم در دمای $110^{\circ}\text{C}$
٨٩	جدول ۳۴ نتایج دانه بندی گچ روی الک های مختلف
٩٠	جدول ۳۵ نتایج دانه بندی کلینکر ورودی به آسیاب سیمان
٩١	جدول ۳۶ آنالیز نمونه های ۸ روز غیر متوالی از ورودی آسیاب سیمان (گچ - کلینکر - پوزولان)
٩٢	جدول ۳۷ نتیجه دانه بندی ۸ نمونه خارج شده از آسیاب سیمان
٩٣	جدول ۳۸ با درشت شدن ذرات پوزولان درصد $\text{SiO}_2$ افزایش و آهک کاهش می یابد
٩٤	جدول ۳۹ آنالیز کلینکر خط ۱ روی الک های مختلف
٩٥	جدول ۴۰ گیرش و درصد آب برای سیمانهای پوزولانی با گچ های متفاوت
٩٦	جدول ۴۱ گیرش و درصد آب برای سیمانهای P-K-Z با گچ های متفاوت
٩٧	جدول ۴۲ گیرش و درصد آب برای یک گچ در درجات حرارت متفاوت
٩٨	جدول ۴۳ مقاومت های ۳ و ۷ و ۶۰ و ۲۸ و ۹۰ روزه در درصد های مختلف پوزولان و گچ
٩٩	جدول ۴۴ مقاومت های ۳ و ۷ و ۶۰ و ۲۸ و ۹۰ روزه در درصد های مختلف سنگ آهک و گچ
٩٩	جدول ۴۵ مقاومت های ۳ و ۷ و ۲۸ روزه برای سیمانهای ساخته شده از ۴ نوع گچ
١٠٠	جدول ۴۶ نتایج آزمایشات اتوکلاو برای سیمانهای پوزولانی با گچ های متفاوت
١٠٠	جدول ۴۷ نتایج آزمایشات اتوکلاو برای سیمانهای پرتلند آهکی با گچ های متفاوت
١٠١	جدول ۴۸ نتایج اتوکلاو برای چهار گچ ساخته شده در درجات حرارت متفاوت
١٠١	جدول ۴۹ ارتباط گرمای هیدراتاسیون با زمان در درصد های متفاوت گچ
١٠١	جدول ۵۰ مقایسه $\text{SO}_3$ در سه ماده اولیه آهن - سنگ آهک - گچ

## فصل اول - گچ در سیمان

۱-۱ - مقدمه

بررسی استاندارد ASTM برای تیپ های مختلف سیمان نشان می دهد که هرچه میزان  $C_3A$  بیشتر باشد میزان گچ لازم برای به تعویق انداختن عمل گیرش بالا می رود زیرا پودر کلینیکر خالص سریع در آب می گیرد و این به علت ترکیب شدید  $C_3A$  با آب می باشد.

با افزایش میزان گچ، سولفات موجود در سنگ گچ با  $C_3A$  (تری کلسیم آلومینات که یکی از بلورهای تشکیل دهنده سیمان است) ترکیب شده و لایه ای از ترنزیت روی دانه های ریز  $C_3A$  (بانرمی های مختلف) را می پوشاند.



ترنزیت خیلی نامحلول است و روی  $C_3A$  رسوب کرده و بصورت سدی جلوی ترکیب  $C_3A$  با آب را می گیرد و این عمل را تأخیر در گیرش می نامند. فاصله زمانی که طول می کشد آب از لایه های ترنزیت عبور کرده و با  $C_3A$  ترکیب گردد زمان گیرش گویند.

که این فاصله زمانی فرصتی برای به شکل در آوردن ملات سیمان و بتن می باشد که در فصل بعدی توضیحات بیشتری راجع به گیرش اولیه و ثانویه آمده است.

ترکیب  $C_3A$  با سولفات و تشکیل اترنزیت تا مصرف کامل گچ ادامه می یابد و زمانی که تمام گچ با سولفات ترکیب شد آن موقع براحتی  $C_3A$  با آب ترکیب می گردد و این اتفاق موقعي انجام می گیرد که تمام شکل پذیری بتن و ملات پایان یافته است.

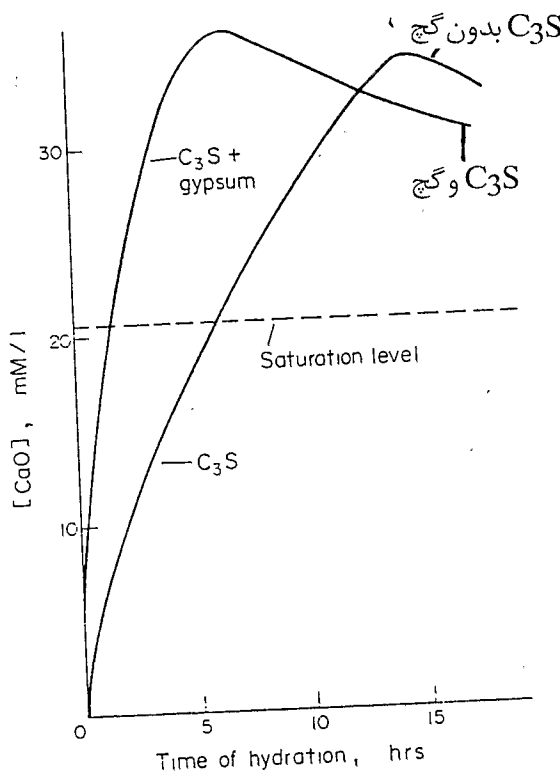
### ۱-۲ - میزان گچ در سیمانهای مختلف

با کاهش میزان  $C_3A$  میزان گچ اضافه شده برای تأخیر در گیرش کاهش می یابد مثلاً برای سیمان تیپ ۵ میزان  $\text{SO}_3$  لازم به  $2/3$  کاهش می یابد.

### ۱-۳- هیدراتاسیون سیلیکات در حضور و غیاب گچ

به طور کلی با هیدراتاسیون سیلیکات کلسیم خشک در هنگام سخت شدن خمیر سیمان CSH تشکیل می‌گردد، که CSH با حضور  $\text{CaSO}_4$  در خمیر سیمان تحت تأثیر قرار می‌گیرد. گچ عکس العمل سیلیکات مخصوصاً  $\text{C}_3\text{S}$  را در اولین مرحله هیدراتاسیون تحت تأثیر قرار می‌دهد.

<sup>۹</sup> Menetrier و همکاران با اندازه‌گیری غلظت یون  $\text{Ca}^{2+}$  در فاز مایع (شکل ۱) نشان دادند، که میزان هیدراتاسیون  $\text{C}_3\text{S}$  در حضور گچ اضافه می‌شود و پس از ۱۰ ساعت با کاهش میزان گچ از هیدراتاسیون کاسته می‌شود. این موضوع در منحنی بدون گچ مشاهده نمی‌گردد، زیرا گچ به صورت  $\text{SO}_4^{2-}$  که در ماتریس CSH وارد می‌شود، تعداد یونهای  $\text{SO}_4^{2-}$  که در ماتریس CSH وارد می‌شود هنوز مشخص نیست.



شکل ۱: غلظت یون  $\text{Ca}^{2+}$  با زمان هیدراتاسیون برای  $\text{C}_3\text{S}$  با گچ و بدون گچ

عبارتست از ژل توپرمولت که از ترکیب  $\text{C}_3\text{S}$  با آب ایجاد می‌گردد)

Kantro, Copeland در زمرة کسانی هستند که برای اولین بار به داخل شدن  $\text{SO}_4^{2-}$  در CSH اشاره می‌کنند. آنها نتیجه گرفتند که  $\text{SO}_4^{2-}$  همراه با  $\text{Fe}^{3+}$ ,  $\text{Al}^{3+}$  می‌تواند CSH شود و این عمل تا